

УДК 532.526.4

## АНАЛОГИЯ РЕЙНОЛЬДСА И НОВАЯ ФОРМУЛИРОВКА ЗАКОНА ДЕФЕКТА ТЕМПЕРАТУРЫ ДЛЯ ТУРБУЛЕНТНОГО ПОГРАНИЧНОГО СЛОЯ НА ПЛАСТИНЕ

© 2016 г. И. И. Вигдорович

Представлено академиком РАН А.И. Леонтьевым 11.02.2015 г.

Поступило 07.08.2015 г.

Предлагается рациональная асимптотическая теория, описывающая динамический и тепловой турбулентный пограничный слой на пластине при нулевом градиенте давления. Тот факт, что течение зависит от конечного числа определяющих параметров позволяет сформулировать алгебраические условия замыкания, которые связывают турбулентное касательное напряжение и турбулентный поток тепла с градиентами усредненной скорости и температуры. В результате точного асимптотического решения уравнений пограничного слоя получены известные законы стенки для скорости и температуры и законы дефекта скорости и температуры, а также выражения для коэффициента трения, числа Стантона и аналогии Рейнольдса. Последнее позволяет дать две новые формулировки закона дефекта температуры, одна из которых полностью аналогична закону дефекта скорости и не содержит числа Стантона и турбулентного числа Прандтля, а вторая не содержит коэффициента трения на стенке. Получен также закон теплопередачи, который связывает только тепловые величины. Выводы теории хорошо согласуются с экспериментальными данными.

DOI: 10.7868/S0869565215360128

1. Рассмотрим течение несжимаемой жидкости в турбулентном пограничном слое на плоской гладкой пластине. Набегающий поток имеет скорость  $u_e$  и температуру  $T_e$ . Температура пластины  $T_w$  задана постоянной. Начало декартовой системы координат на передней кромке пластины.

Течение описывается уравнениями Навье–Стокса, неразрывности и переноса тепла:

$$\frac{\partial \mathbf{u}}{\partial t} + \mathbf{u} \nabla \mathbf{u} = -\frac{\nabla p}{\rho} + \nu \nabla^2 \mathbf{u}, \quad \nabla \mathbf{u} = 0, \quad (1)$$

$$\frac{\partial T}{\partial t} + \mathbf{u} \nabla T = \chi \nabla^2 T. \quad (2)$$

Для низкоскоростного течения несжимаемой жидкости кинетический нагрев, связанный с вязкой диссипацией энергии, пренебрежимо мал и в уравнении (2) не учитывается.

Для течения несжимаемой жидкости динамическая задача (1) не зависит от тепловой (2), и все динамические величины, в том числе градиент усредненной продольной скорости и турбулентное касательное напряжение, являются функциями декартовых координат  $x$ ,  $y$  и трех определяющих

параметров – плотности  $\rho$ , кинематической вязкости  $\nu$  и скорости набегающего потока  $u_e$ :

$$\frac{\partial \bar{u}}{\partial y} = F_1(x, y, \rho, \nu, u_e), \quad \overline{u'v'} = F_2(x, y, \rho, \nu, u_e). \quad (3)$$

Введем в рассмотрение толщину пограничного слоя

$$\Delta = F_3(x, \rho, \nu, u_e) \quad (4)$$

как некоторую величину, характеризующую поперечный масштаб турбулентного течения. Например, как это обычно делается на практике, толщиной пограничного слоя можно считать расстояние до стенки  $\delta_{99}$ , на котором усредненная скорость на 1% отличается от  $u_e$ . Разрешая первое уравнение (3) и уравнение (4) относительно величин  $x$  и  $u_e$  и подставляя их во второе уравнение (3), получим

$$\overline{u'v'} = F_4\left(\Delta, y, \rho, \nu, \frac{\partial \bar{u}}{\partial y}\right).$$

Применяя к этому соотношению П-теорему, будем иметь

$$\overline{u'v'} = -\left(u \frac{\partial \bar{u}}{\partial y}\right)^2 S(\text{Re}, \eta), \quad \text{Re} = \frac{y^2 \partial \bar{u}}{\nu \Delta}, \quad \eta = \frac{y}{\Delta}. \quad (5)$$

Здесь  $S$  – некоторая универсальная функция,  $\text{Re}$  – локальное число Рейнольдса, образованное по градиенту усредненной скорости и расстоянию до стенки.

Поле температуры вычисляется на основе поля скорости, поэтому определяющие параметры тепловой задачи –  $\rho, \nu, u_e$ , коэффициент теплопроводности  $\chi$  и разность температур  $T_w - T_e$ :

$$\frac{\partial \bar{T}}{\partial y} = F_5(x, y, \rho, \nu, \chi, u_e, T_w - T_e), \quad (6)$$

$$\overline{T'v'} = F_6(x, y, \rho, \nu, \chi, u_e, T_w - T_e).$$

Поперечный градиент и турбулентный поток температуры зависят только от разности температур на стенке и в набегающем потоке в силу линейности уравнения (2). Разрешая первое уравнение (3), уравнение (4) и первое уравнение (6) относительно величин  $x, u_e$  и  $T_w - T_e$  и подставляя их во второе уравнение (6), получим

$$\overline{T'v'} = F_7(\Delta, y, \rho, \nu, \chi, \frac{\partial \bar{u}}{\partial y}, \frac{\partial \bar{T}}{\partial y}). \quad (7)$$

Поскольку, как сказано выше, кинетический нагрев не учитывается, уравнение для температуры (2) однородно. Поэтому для температуры можно выбрать произвольную размерность. С учетом этого обстоятельства применение к соотношению (7) П-теоремы дает

$$\overline{T'v'} = -y^2 \frac{\partial \bar{T}}{\partial y} \frac{\partial \bar{u}}{\partial y} H(\text{Re}, \text{Pe}, \eta), \quad (8)$$

$$\text{Pe} = \frac{y^2 \frac{\partial \bar{u}}{\partial y}}{\chi}.$$

Здесь  $H$  – некоторая универсальная функция,  $\text{Pe}$  – локальное число Пекле, образованное по градиенту усредненной скорости и расстоянию до стенки. Числа Рейнольдса и Пекле связаны равенством  $\text{Pe} = \text{Pr} \cdot \text{Re}$ , где  $\text{Pr} = \frac{\nu}{\chi}$  – молекулярное число Прандтля.

Можно считать  $S$  и  $H$  непрерывными и дифференцируемыми функциями своих аргументов. Мы поставим более слабые условия Гельдера:

$$S(\text{Re}, \eta) = S(\text{Re}, 0) + O(\eta^{\alpha_1}), \quad \eta \rightarrow 0, \quad \text{Re} = O(1),$$

$$S(\text{Re}, 0) = S(\infty, 0) + O(\text{Re}^{-\alpha_2}), \quad \text{Re} \rightarrow \infty, \quad (9)$$

$$S(\text{Re}, \eta) = S(\infty, \eta) + O(\text{Re}^{-\alpha_2}), \quad \text{Re} \rightarrow \infty, \quad \frac{1}{\eta} = O(1),$$

$$S(\infty, \eta) = S(\infty, 0) + O(\eta^{\alpha_1}), \quad \eta \rightarrow 0, \quad \alpha_1, \alpha_2 > 0$$

и аналогичные условия для функции  $H(\text{Re}, \text{Pr} \cdot \text{Re}, \eta)$ . Условия (9) представляют собой математическую формулировку единственного, восходящего еще к Карману [1], физического предположения, согласно которому в рассматриваемом течении есть только два характерных масштаба длины – вязкий масштаб (определяющий толщину вязкого подслоя) и толщина пограничного слоя. При больших числах Рейнольдса молекулярные вяз-

кость и теплопроводность не существенны вне вязкого подслоя, а внешний масштаб не оказывает влияния на течение в пристеночной области.

2. Уравнения пограничного слоя для усредненного течения, проинтегрированные поперек слоя, с учетом условий замыкания (5), (8) имеют вид

$$\begin{aligned} \left(y \frac{\partial \bar{u}}{\partial y}\right)^2 S(\text{Re}, \eta) + \nu \frac{\partial \bar{u}}{\partial y} - \frac{\tau_w}{\rho} &= \bar{u} \bar{v} + \frac{\partial}{\partial x} \int_0^y \bar{u}^2 dy, \\ y^2 \frac{\partial \bar{T}}{\partial y} \frac{\partial \bar{u}}{\partial y} H(\text{Re}, \text{Pe}, \eta) + \chi \frac{\partial \bar{T}}{\partial y} + \frac{q_w}{\rho} &= \\ &= \bar{T} \bar{v} + \frac{\partial}{\partial x} \int_0^y \bar{T} \bar{u} dy, \end{aligned} \quad (10)$$

где  $\tau_w, q_w$  – усредненные касательное напряжение и тепловой поток на стенке соответственно. Рассмотрим вязкий подслой, в котором переменные

$$y_+ = \frac{u_\tau y}{\nu}, \quad u_+ = \frac{\bar{u}}{u_\tau}, \quad \theta_+ = \frac{\rho u_\tau (T_w - \bar{T})}{q_w}, \quad (11)$$

$$u_\tau = \sqrt{\frac{\tau_w}{\rho}}$$

имеют порядок единицы. В вязком подслое будем искать решение в виде

$$\begin{aligned} u_+ &= U_+(y_+) + O(\text{Re}_\tau^{-\alpha}), \quad \theta_+ = \Theta_+(y_+) + O(\text{Re}_\tau^{-\alpha}), \\ \text{Re}_\tau &= \frac{u_\tau \Delta}{\nu}, \quad \alpha > 0. \end{aligned} \quad (12)$$

Подстановка (11), (12) в (10) и предельный переход  $\text{Re}_\tau \rightarrow \infty, y_+ = O(1)$  с учетом (9) и связи  $\eta = \frac{y_+}{\text{Re}_\tau}$

дают для главных членов разложений обыкновенные дифференциальные уравнения

$$\left(y_+ \frac{dU_+}{dy_+}\right)^2 S(\text{Re}, 0) + \frac{dU_+}{dy_+} = 1, \quad U_+(0) = 0, \quad (13)$$

$$y_+^2 \frac{d\Theta_+}{dy_+} \frac{dU_+}{dy_+} H(\text{Re}, \text{Pr} \cdot \text{Re}, 0) + \frac{1}{\text{Pr}} \frac{d\Theta_+}{dy_+} = 1, \quad (14)$$

$$\Theta_+(0) = 0, \quad \text{Re} = y_+^2 \frac{dU_+}{dy_+},$$

которые означают, что в первом приближении правыми частями уравнений (10), т. е. конвективными членами в уравнениях пограничного слоя, можно пренебречь. Из уравнений (13), (14) и условий, поставленных на функции  $S$  и  $H$  (9), следует, что скорость и температура вне вязкого подслоя имеют логарифмическую асимптотику

$$U_+ = \frac{1}{\kappa} (\ln y_+ + C) + O(y_+^{-\alpha}), \quad (15)$$

$$\Theta_+ = \frac{\sigma}{\kappa} [\ln y_+ + D(\text{Pr})] + O(y_+^{-\alpha}), \quad y_+ \rightarrow \infty, \quad \alpha > 0, \quad (16)$$

$$\kappa = \sqrt{S(\infty, 0)}, \quad \sigma = \frac{S(\infty, 0)}{H(\infty, \infty, 0)}.$$

В соответствии с экспериментальными данными примем значение постоянной Кармана  $\kappa = 0.41$  и  $C = 2.05$ , а для турбулентного числа Прандтля в логарифмической области  $\sigma$  в соответствии с рекомендациями [2, 3] – значение 0.85. Для воздуха  $D(0.7) = 1.8$  [2], асимптотика этой функции при малых и больших числах Прандтля исследована в [2, 4].

3. Перейдем к новым переменным по формулам [5]

$$\psi = u_e \Delta \Psi(\xi, \eta), \quad \bar{T} = T_e + (T_w - T_e) \Phi(\xi, \eta), \quad (17)$$

$$\xi = \ln \text{Re}_\Delta, \quad \Lambda(\xi) = \frac{d\Delta}{dx}, \quad \text{Re}_\Delta = \frac{u_e \Delta}{\nu},$$

где  $\psi$  – функция тока усредненного течения. В качестве независимых переменных  $\xi$  и  $\eta$  выбраны логарифм числа Рейнольдса, образованного по толщине пограничного слоя, и относительное расстояние до стенки. Для функций  $\Psi(\xi, \eta)$ ,  $\Phi(\xi, \eta)$  и  $\Lambda(\xi)$  из уравнений пограничного слоя с учетом условий замыкания (5), (8) получим

$$\begin{aligned} \Lambda[\Psi_\eta \Psi_{\xi\eta} - (\Psi + \Psi_\xi) \Psi_{\eta\eta}] &= \\ &= [(\eta \Psi_{\eta\eta})^2 S(\text{Re}, \eta) + e^{-\xi} \Psi_{\eta\eta}]_\eta, \\ \Lambda[\Psi_\eta \Phi_\xi - (\Psi + \Psi_\xi) \Phi_\eta] &= \\ &= [\eta^2 \Phi_\eta \Psi_{\eta\eta} H(\text{Re}, \text{PrRe}, \eta) + \text{Pr}^{-1} e^{-\xi} \Phi_\eta]_\eta, \end{aligned} \quad (18)$$

$$\text{Re} = e^\xi \eta^2 \Psi_{\eta\eta};$$

$$\xi > -\infty, \quad \eta = 0: \quad \Psi = 0, \quad \Psi_\eta = 0, \quad \Phi = 1;$$

$$\eta \rightarrow \infty: \quad \Psi_\eta \rightarrow 1, \quad \Phi \rightarrow 0.$$

Входящая в уравнения (18) относительная толщина пограничного слоя  $\Lambda$  – малая величина, а переменная  $\xi$ , равная логарифму числа Рейнольдса – большая величина, что позволяет искать асимптотическое решение задачи при  $\xi \rightarrow \infty$ . Асимптотические разложения искомых функций будут иметь более простой вид, если ввести новую независимую переменную  $\zeta \rightarrow \infty$  по формуле  $\xi = \zeta + k \ln \zeta$ , где коэффициент  $k$  будет выбран в дальнейшем. Во внешней области пограничного слоя, где  $\frac{1}{\eta} = O(1)$ , решение уравнений (18) будем искать в виде

$$\begin{aligned} \Lambda(\xi) &= \lambda \zeta^{-1} + O(\zeta^{-2}), \\ \Psi(\xi, \eta) &= \eta + \lambda f(\eta) \zeta^{-1} + O(\zeta^{-2}), \\ \Phi(\xi, \eta) &= \omega \phi(\eta) \zeta^{-1} + O(\zeta^{-2}), \end{aligned} \quad (19)$$

где  $\lambda$  и  $\omega$  – постоянные коэффициенты. Подставляя разложения (19) в уравнения (18) и переходя к пределу при  $\zeta \rightarrow \infty$ ,  $\frac{1}{\eta} = O(1)$ , для функций  $f$  и  $\phi$  получим обыкновенные дифференциальные уравнения

$$\begin{aligned} [(\eta f''')^2 S(\infty, \eta)]' + \eta f'' &= 0, \quad f(0) = f'(\infty) = 0, \\ [\eta^2 \phi' f'' H(\infty, \infty, \eta)]' + \eta \phi' &= 0, \quad \phi(\infty) = 0, \end{aligned} \quad (20)$$

первые интегралы которых есть

$$(\eta f''')^2 S(\infty, \eta) = f - f(\infty) - \eta f', \quad (21)$$

$$\eta^2 \phi' f'' H(\infty, \infty, \eta) = - \int_\eta^\infty \phi d\eta - \eta \phi. \quad (22)$$

Из (21), принимая во внимание (9), получим асимптотику решения на стенке

$$f'(\eta) = \frac{F_1}{\kappa} (\ln \eta + A - \ln F_1) + O(\eta^\alpha), \quad (23)$$

$$F_1 = \sqrt{-f(\infty)}, \quad \eta \rightarrow 0, \quad \alpha > 0,$$

где  $A$  – постоянная интегрирования, которая, как можно проверить с помощью уравнения (21), не зависит от выбора поперечного масштаба  $\Delta$ . Функция  $\phi$  удовлетворяет линейному однородному уравнению (20) и определена с точностью до постоянного множителя. Для определенности поставим дополнительное условие

$$\int_0^\infty \phi d\eta = \frac{F_1}{\sigma}. \quad (24)$$

Из (22), (24) и (9) получим, что профиль температуры имеет логарифмическую асимптотику на стенке

$$\phi(\eta) = -\frac{1}{\kappa} (\ln \eta + E - \ln F_1) + O(\eta^\alpha), \quad (25)$$

$$\eta \rightarrow 0, \quad \alpha > 0,$$

где  $E$  – постоянная интегрирования, которая также не зависит от выбора поперечного масштаба  $\Delta$ .

4. Выполним асимптотическое сращивание решений для двух областей – внешней и пристеночной. Введем коэффициент трения и число Стантона по формулам  $c_f = \frac{2\tau_w}{\rho u_e}$ ,  $\text{St} = \frac{q_w}{\rho u_e c_p (T_w - T_e)}$ . Связь между внутренними и внешними переменными на основании (11), (19) задается равенствами

$$\begin{aligned} \ln y_+ &= \ln \eta + \ln \text{Re}_\tau, \\ u_+ \sqrt{c_f/2} &= 1 + \lambda f'(\eta) \zeta^{-1} + O(\zeta^{-2}), \\ \theta_+ \text{St} &= \sqrt{c_f/2} [1 - \omega \phi(\eta) \zeta^{-1} + O(\zeta^{-2})]. \end{aligned} \quad (26)$$

Поскольку, согласно (12), разница между  $u_+$  и  $U_+$  и  $\theta_+$  и  $\Theta_+$  меньше любой отрицательной степени  $\zeta$ , для сращивания можно использовать асимптотические представления (15), (16). Заменяя в равенствах (26) функции  $f'$ ,  $\varphi$ ,  $u_+$  и  $\theta_+$  их асимптотическими представлениями (23), (24), (15) и (16), получим условия сращивания

$$\begin{aligned} & \frac{\sqrt{c_f/2}}{\kappa} (\ln \eta + \ln \text{Re}_\tau + C) = \\ & = 1 + \frac{\lambda F_1}{\kappa \zeta} (\ln \eta + A - \ln F_1) + O(\zeta^{-2}), \\ & \frac{\sigma \text{St}}{\kappa \sqrt{c_f/2}} (\ln \eta + \ln \text{Re}_\tau + D) = \\ & = 1 + \frac{\omega}{\kappa \zeta} (\ln \eta + E - \ln F_1) + O(\zeta^{-2}), \end{aligned}$$

из которых следуют равенства

$$\sqrt{c_f/2} = \frac{\lambda F_1}{\zeta} + O(\zeta^{-2}), \quad (27)$$

$$\frac{\sqrt{c_f/2}}{\kappa} [\ln(F_1 \text{Re}_\tau) + C - A] = 1 + O(\zeta^{-2}), \quad (28)$$

$$\frac{\sigma \text{St}}{\sqrt{c_f/2}} = \frac{\omega}{\zeta} + O(\zeta^{-2}), \quad (29)$$

$$\frac{\sigma \text{St}}{\kappa \sqrt{c_f/2}} [\ln(F_1 \text{Re}_\tau) + D - E] = 1 + O(\zeta^{-2}). \quad (30)$$

Соотношения (27), (29) получены из условия равенства коэффициентов при  $\ln \eta$ . На основании (27)

$$\begin{aligned} \ln \text{Re}_\tau &= \zeta + k \ln \zeta + \ln \sqrt{c_f/2} = \\ &= \zeta + k \ln \zeta - \ln \zeta + O(1). \end{aligned}$$

С другой стороны, из (27), (28)  $\ln \text{Re}_\tau = \zeta + O(1)$ . Откуда следует, что нужно положить  $k = 1$ .

5. Из (19), (27), (29) следуют известные законы дефекта скорости и дефекта температуры для внешней области пограничного слоя:

$$\frac{u_e - \bar{u}}{u_e \sqrt{c_f/2}} = -\frac{f'(\eta)}{F_1} + O(\sqrt{c_f}), \quad (31)$$

$$\frac{(T_e - \bar{T}) \sqrt{c_f/2}}{(T_e - T_w) \text{St}} = \sigma \varphi(\eta) + O(\sqrt{c_f}). \quad (32)$$

Исключив число Рейнольдса из равенств (28), (30), для коэффициента аналогии Рейнольдса получим формулу

$$\frac{2\text{St}}{c_f} = \frac{1}{\sigma} \left[ 1 - \frac{\sqrt{c_f/2}}{\kappa} [A - E + D(\text{Pr}) - C] + O(c_f) \right], \quad (33)$$

которая по структуре совпадает с выражением, приведенным в [6, глава 6]. Из (33) в частности

следует, что в турбулентном течении коэффициент аналогии Рейнольдса весьма слабо зависит от молекулярного числа Прандтля.

Умножив равенство (32) на (33), получим новую формулировку закона дефекта температуры

$$\frac{T_e - \bar{T}}{(T_e - T_w) \sqrt{c_f/2}} = \varphi(\eta) + O(\sqrt{c_f}), \quad (34)$$

которая полностью аналогична закону дефекта скорости (31). В соотношении (34), в отличие от (32), не входит ни число Стантона, ни турбулентное число Прандтля. Другая форма закона дефекта температуры, которая также следует из (32) и (33), имеет вид

$$\frac{T_e - \bar{T}}{(T_e - T_w) \sqrt{\sigma \text{St}}} = \varphi(\eta) + O(\sqrt{\sigma \text{St}}). \quad (35)$$

Достоинством соотношения (35) является то, что оно не содержит коэффициента трения. Интегрируя (34) и (35) поперек слоя, с учетом (24) будем иметь

$$\frac{\delta_T}{\delta \sqrt{c_f/2}} = \frac{F_1}{\sigma} + O(\sqrt{c_f}), \quad \frac{\delta_T}{\delta \sqrt{\sigma \text{St}}} = \frac{F_1}{\sigma} + O(\sqrt{\sigma \text{St}}), \quad (36)$$

$$\delta_T = \int_0^\infty \frac{T_e - \bar{T}}{T_e - T_w} dy.$$

Отсюда видно, что аналогом известной для динамического пограничного слоя толщины Клаузера [7] для теплового пограничного слоя являются величины  $\delta_T \sqrt{2/c_f}$  и  $\delta_T / \sqrt{\sigma \text{St}}$ .

На рис. 1 в переменных подобия (34) и (35) построены экспериментальные профили температуры [8]. Коэффициент трения в этой работе не измерялся и поэтому взят из параллельного экспериментального исследования [9]. В качестве поперечных масштабов используются величины (36). Сплошная кривая на рис. 1 построена по известной эмпирической формуле Коулса [10] для профиля скорости, в которой поперечная координата растянута в  $1/\sigma$  раз. В отличие от соотношения, приведенного в [6, глава 6], такая аппроксимация профиля температуры учитывает тот факт, что толщина динамического и теплового пограничных слоев разная. Данные на рис. 1 очень хорошо подтверждают справедливость законов подобия (34) и (35) – вне вязкого подслоя все экспериментальные точки лежат на одной кривой.

Соотношение (28) дает закон трения на пластине

$$\ln \text{Re}_{\delta^*} = \frac{\kappa}{\sqrt{c_f/2}} + A - C + O(\sqrt{c_f}), \quad (37)$$

где  $\text{Re}_{\delta^*}$  – число Рейнольдса, образованное по толщине вытеснения пограничного слоя. Соот-

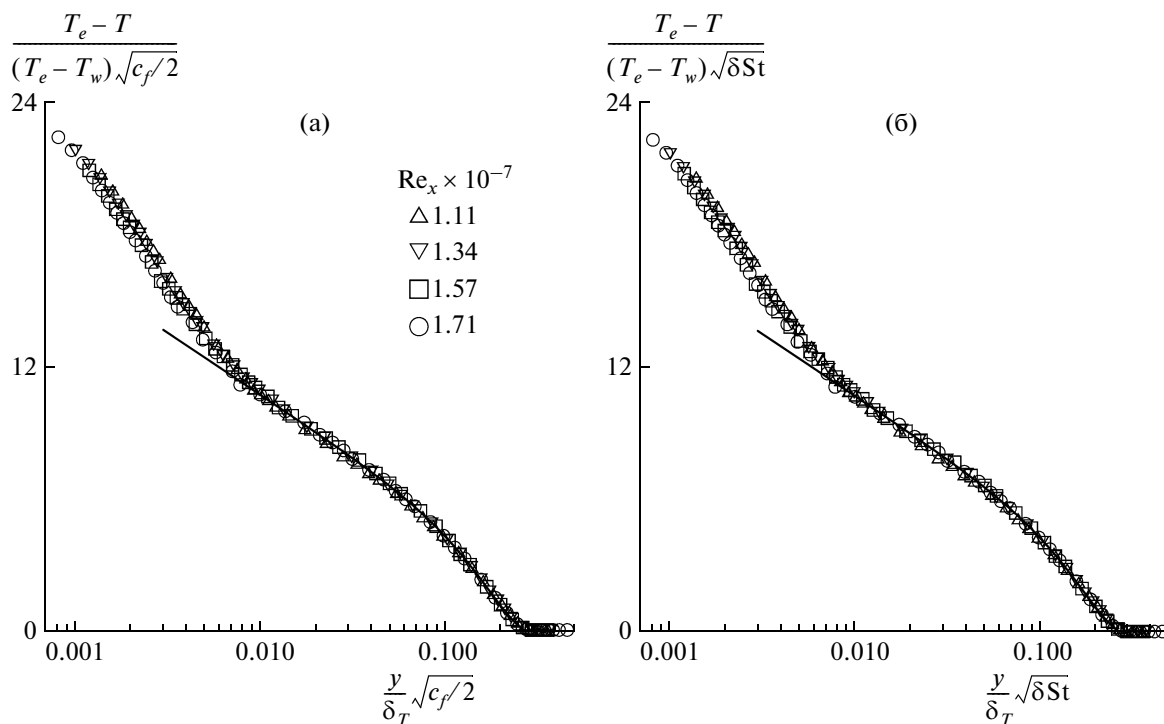


Рис. 1. Экспериментальные профили температуры [8] в турбулентном пограничном слое на пластине в переменных подобия (34) (а) и (35) (б); сплошная кривая – аппроксимационная формула.

ношение (33) позволяет получить выражение коэффициента трения через число Стантона, подстановка которого в (37) дает

$$\ln Re_{\delta_T} = \frac{\kappa}{\sqrt{\sigma St}} - \ln \sigma + \frac{1}{2} [A + E - C - D(\text{Pr})] + O(\sqrt{St}), \quad (38)$$

где  $Re_{\delta_T}$  – число Рейнольдса, образованное по толщине  $\delta_T$ . Построенная на рис. 2 формула (38) хорошо описывает экспериментальные данные [11, 8], притом, что эмпирические постоянные, которые в нее входят, так же, как в случае соотношения (37), определены в результате анализа профилей скорости и температуры.

Работа выполнена при поддержке Российского фонда фундаментальных исследований (проект 16–01–00172).

СПИСОК ЛИТЕРАТУРЫ

1. von Kármán Th. Mechanische Ähnlichkeit und Turbulenz, Proc. III Intern. Congress Applied Mechanics. Stockholm, 24–29 August 1930. Stockholm: Aktiebolaget Sveriges Litografiska Tryckerier, 1931. V. 1. P. 85–93.
2. Кадер Б.А., Яглом А.М. // Итоги науки и техники. Сер. Механика жидкости и газа. М.: ВИНТИ, 1980. Т. 15. С. 81–155.
3. Kays W.M. // J. Heat Transfer. 1994. V. 116. № 2. С. 284–295.
4. Вигдорович И.И. // ЖЭТФ. 2004. Т. 126. В. 5 (11). С. 1180–1191.
5. Вигдорович И.И. // ДАН. 1993. Т. 331. № 4. С. 443–448.

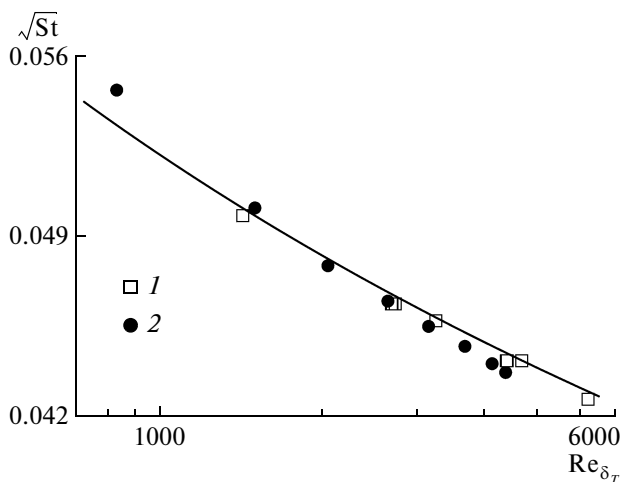


Рис. 2. Распределение числа Стантона на пластине. Экспериментальные данные [11] (1), [8] (2) и расчетная кривая (38).

6. Себиси Т., Брэдишоу П. Конвективный теплообмен. М.: Мир, 1987. 590 с.
7. Clauser F.H. // Adv. Appl. Mech. 1956. Т. 4. С. 1–51.
8. Blackwell B.F., Kays W.M., Moffat R.J. The Turbulent Boundary Layer on a Porous Plate: an Experimental Study of the Heat Transfer Behavior with Adverse Pressure Gradients. Rept № HMT–16. Stanford: Stanford Univ., 1972.
9. Andersen P.S., Kays W.M., Moffat R.J. The Turbulent Boundary Layer on a Porous Plate: an Experimental Study of the Fluid Mechanics for Adverse Free–Stream Pressure Gradient. Rept № HMT–15. Stanford: Stanford Univ., 1972.
10. Coles D. // J. Fluid Mech. 1956. V. 1. Pt. 2. P. 191–226.
11. Simpson R. L., Moffat R. J., Whitten D. G. // Intern. J. Heat Mass Transfer. 1970. V. 13. № 1. P. 125–143.